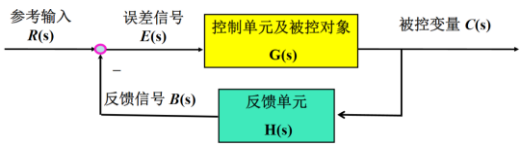


第一章 概述
典型控制系统



第二章 连续时间控制系统的数学模型

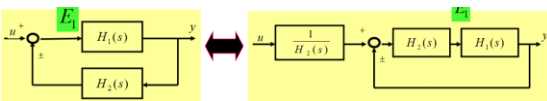
1. 传递函数



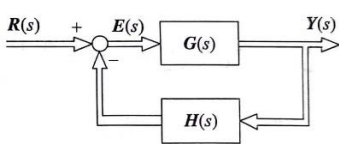
- ①开环传递函数 = $\frac{B(s)}{E(s)} = G(s)H(s)$
- ②前向通路传递函数 = $\frac{C(s)}{E(s)} = G(s)$
- ③反馈通路传递函数 = $\frac{B(s)}{C(s)} = H(s)$

2. 方块图

等效单位反馈



3. 多变量系统的传递函数



$$\begin{cases} Y(s) = G(s)E(s) \\ E(s) = R(s) - H(s)Y(s) \end{cases} \Rightarrow \begin{cases} Y(s) = M(s)R(s) \\ M(s) = [I + G(s)H(s)]^{-1}G(s) \end{cases}$$

4. 梅逊增益公式

$$M = \frac{1}{\Delta} \sum_{k=1}^N (P_k \Delta_k)$$

其中， N 为前向通路数； P_k 为第 k 条前向通路的增益；

$$\Delta = 1 - \left(\text{单回路} \right) + \left(\text{两两互不接触} \right) - \left(\text{三个互不接触} \right) + \dots$$

Δ_k 为抽去第 k 条前向通路后剩下的图的 Δ （余子式）。

6. 微分方程/传递函数 \rightarrow 状态空间模型（举例）

(1)输入无微分项

$$\ddot{y} + 3\dot{y} + 2y = 5u$$

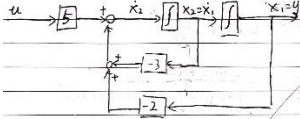
有 $G(s) = \frac{5}{s^2 + 3s + 2}$

取 $x_1 = y, x_2 = \dot{y}$ ，有

$$\begin{cases} \dot{x}_1 = x_2 \\ \dot{x}_2 = -2x_1 - 3x_2 + 5u \end{cases}, \text{即} \dot{x} = \begin{bmatrix} 0 & 1 \\ -2 & -3 \end{bmatrix} x + \begin{bmatrix} 0 \\ 5 \end{bmatrix} u$$

$y = x_1, \text{即} y = [1 \ 0]x$

状态变量图：



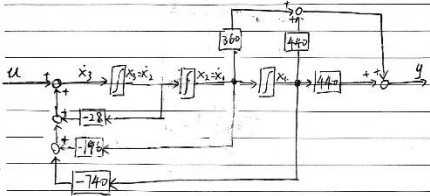
(2)输入有微分项（此即能控标准型的做法）

$$\ddot{y} + 28\dot{y} + 196y = 360\dot{u} + 440u$$

有 $G(s) = \frac{Y(s)}{U(s)} = \frac{360s + 440}{s^3 + 28s^2 + 196s + 740}$

设 $Z(s) = \frac{U(s)}{s^3 + 28s^2 + 196s + 740}$ ，有 $\begin{cases} u = \ddot{z} + 28\dot{z} + 196z + 740z \\ y = 360\dot{z} + 440z \end{cases}$

取 $\begin{cases} x_1 = z \\ x_2 = \dot{z} \\ x_3 = \ddot{z} \end{cases}$ ，有 $\begin{cases} \dot{x}_1 = x_2 \\ \dot{x}_2 = x_3 \\ \dot{x}_3 = \ddot{z} = -740x_1 - 196x_2 - 28x_3 + u \end{cases}$
 $y = 440x_1 + 360x_2$ （矩阵形式略）



7. 三个标准型

①对角标准型（正则型）

当 $G(s)$ 只含有单极点 λ_i 时，可写成部分分式之和：

$$G(s) = \sum_{i=1}^n \frac{c_i}{s - \lambda_i} \Rightarrow Y(s) = \sum_{i=1}^n \frac{c_i}{s - \lambda_i} \times U(s)$$

令 $X_i(s) = \frac{u_i(s)}{s - \lambda_i}$ ，则有 $\begin{cases} \dot{x}_i(t) = \lambda_i x_i(t) + u(t) \\ y(t) = \sum_{i=1}^n c_i x_i(t) \end{cases}$

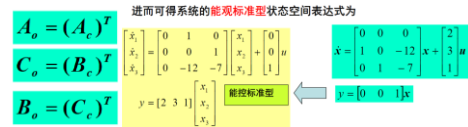
②能控标准型

$$A = \begin{bmatrix} 0 & 1 & 0 & \dots & 0 \\ 0 & 0 & 1 & \dots & 0 \\ \vdots & \vdots & \vdots & \ddots & \vdots \\ 0 & 0 & 0 & \dots & 1 \\ -a_0 & -a_1 & -a_2 & \dots & -a_{n-1} \end{bmatrix}, b_c = \begin{bmatrix} 0 \\ 0 \\ \vdots \\ 0 \\ 1 \end{bmatrix}, c_c = [\beta_0 \ \beta_1 \ \dots \ \beta_{n-1}], d_c = 0$$

③能观标准型

$$A_o = \begin{bmatrix} 0 & 0 & \dots & 0 & -a_0 \\ 1 & 0 & \dots & 0 & -a_1 \\ 0 & 1 & \dots & 0 & -a_2 \\ \vdots & \vdots & \ddots & \vdots & \vdots \\ 0 & 0 & \dots & 1 & -a_{n-1} \end{bmatrix}, b_o = \begin{bmatrix} \beta_0 \\ \beta_1 \\ \beta_2 \\ \vdots \\ \beta_{n-1} \end{bmatrix}, c_o = [0 \ 0 \ \dots \ 0 \ 1], d_o = 0$$

规律：



8. 常见模型

① 电路模型

电阻 $u = Ri$

电容 $i = C \frac{du}{dt} \Rightarrow u = CDu \Rightarrow R_C = \frac{1}{CD}$
电感 $u = L \frac{di}{dt} \Rightarrow u = LDi \Rightarrow R_L = LD$

第三章 连续时间控制系统的时域分析

1. 拉普拉斯变换（用于部分分式法计算单位脉冲响应）

$$1 \xleftrightarrow{s} \frac{1}{s}, \quad t \xleftrightarrow{s} \frac{1}{s^2}, \quad \frac{t^2}{2} \xleftrightarrow{s} \frac{1}{s^3}, \quad \dots, \quad \frac{t^n}{n!} \xleftrightarrow{s} \frac{1}{s^{n+1}}$$

$$e^{-at} \xleftrightarrow{s} \frac{1}{s+a}, \quad te^{-at} \xleftrightarrow{s} \frac{1}{(s+a)^2}, \quad \frac{t^2}{2} e^{-at} \xleftrightarrow{s} \frac{1}{(s+a)^3}$$

$$e^{-at} \sin(\omega t) \xleftrightarrow{s} \frac{\omega}{(s+a)^2 + \omega^2}, \quad e^{-at} \cos(\omega t) \xleftrightarrow{s} \frac{s}{(s+a)^2 + \omega^2}$$

$$y^{(n)}(t) \xleftrightarrow{s} s^n F(s) - s^{n-1}y(0) - s^{n-2}y'(0) - \dots - y^{(n-1)}(0)$$

若 λ_i 是 $Q(s)$ 的 m 重根， $c_k = \lim_{s \rightarrow \lambda_i} \frac{1}{(m-k)!} \frac{d^{m-k}}{ds^{m-k}} (s - \lambda_i)^m \frac{P(s)}{Q(s)}$

2. 自由响应和强迫响应

自由响应：全响应中 $G(s)$ 模态组成的部分（需满足模态不重叠）

1) $u(t) = k \sin \omega_d t, u_c(t) > 0$ ， $G(s)$ 不含 $\frac{1}{s^2 + \omega_d^2}$

2) $u(t)$ 为阶跃、斜坡或抛物线输入， $G(s)$ 不含 $\frac{1}{s}$ ，强迫响应与输入有相同的形式（正弦、

幂级数），自由响应只与传递函数有关。

3. 二阶系统

①标准形式：

$$\ddot{y} + 2\xi\omega_n\dot{y} + \omega_n^2 y = \omega_n^2 x$$

$$G(s) = \frac{\omega_n^2}{s^2 + 2\xi\omega_n s + \omega_n^2}$$

$\xi < 0$ ，2个正实部根，发散（不稳定）

$\xi = 0$ ，1对共轭虚根，等幅振荡（临界稳定）响应

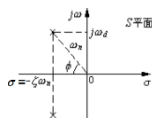
$0 < \xi < 1$ ，1对共轭负实部根，欠阻尼响应

$\xi = 1$ ，相等负实根，临界阻尼响应

$\xi > 1$ ，不等负实根，过阻尼响应

②单位阶跃响应（欠阻尼）

如图， $\xi = \cos\phi$
衰减（阻尼）震荡频率 $\omega_d = \omega_n \sqrt{1 - \xi^2}$



$$y(t) = 1 - \frac{1}{\sqrt{1 - \xi^2}} e^{-\xi\omega_n t} \sin(\omega_d t + \phi)$$

(1)上升时间 T_r ：响应从0第一次上升到终值所需的时间

$$T_r = \frac{\pi - \arccos \xi}{\omega_n \sqrt{1 - \xi^2}}$$

(2)峰值时间 T_p ：响应超过终值到达第一个峰值所需的时间

$$T_p = \frac{\pi}{\omega_n \sqrt{1 - \xi^2}} = \frac{\pi}{\omega_d}$$

(3)超调量 σ ：响应的最大偏离量同终值的比

$$M_p = 1 + e^{-\frac{\xi\pi}{\sqrt{1 - \xi^2}}}, \quad \sigma = e^{-\frac{\xi\pi}{\sqrt{1 - \xi^2}}}$$

(4)调节时间 T_s ：响应到达并保持在终值一定范围内所需的时间

$$\Delta = 5\%: T_s = \frac{3}{\xi\omega_n}, \quad \Delta = 2\%: T_s = \frac{4}{\xi\omega_n}$$

(5)衰减比 n ：同方向过渡过程曲线上的相邻两个波峰之比

4. 稳定高阶系统的近似

主导极点：附加无其他零极点；距虚轴较近

$$\frac{10(s+8)}{(s+20)(s^2+2s+5)} = \frac{80(0.125s+1)}{20(0.05s+1)(s^2+2s+5)} \approx \frac{4}{s^2+2s+5}$$

5. 状态转移矩阵 $\phi(t) = e^{At}$ 的计算

$\dot{x}(t) = Ax(t) \Rightarrow x(t) = e^{At}x(0)$

①直接计算（通常 A 的幂次有周期性）

$$e^{At} = I + \frac{At}{1!} + \frac{(At)^2}{2!} + \dots$$

②拉氏变换

$$\dot{x}(t) = Ax(t) \xrightarrow{L} sX(s) - x(0) = AX(s) \Rightarrow X(s) = (sI - A)^{-1}x(0) \Rightarrow \phi(s) = (sI - A)^{-1}$$

③矩阵对角化

将 A 对角化： $\Lambda = T^{-1}AT$

则 $e^{At} = T^{-1}e^{\Lambda t}T \Rightarrow \phi(t) = Te^{\Lambda t}T^{-1}$

④性质

$\phi^{-1}(t) = \phi(-t), \quad A = \left. \frac{d\phi(t)}{dt} \right|_{t=0}$

6. 状态空间模型的解算

$$\dot{x}(t) = Ax(t) + Bu(t)$$

①直接法（时域）

$$x(t) = \phi(t)x(0) + \int_0^t \phi(t-\beta)Bu(\beta)d\beta$$

②拉氏变换法

$$X(s) = \phi(s)x(0) + \phi(s)BU(s)$$

第四章 连续时间控制系统的稳定性与稳态误差

1. 劳斯稳定性判据

$$\begin{matrix} s^n & a_n & a_{n-2} & a_{n-4} & a_{n-6} & \dots \\ s^{n-1} & a_{n-1} & a_{n-3} & a_{n-5} & a_{n-7} & \dots \\ s^{n-2} & c_1 & c_2 & c_3 & \dots & \\ s^{n-3} & d_1 & d_2 & d_3 & \dots & \\ \dots & \dots & \dots & \dots & \dots & \\ s^1 & j_1 & \dots & \dots & \dots & \\ s^0 & k_1 & \dots & \dots & \dots & \end{matrix} \quad \begin{matrix} c_1 = \frac{-1}{a_{n-1}} [a_n \ a_{n-2}] \\ c_2 = \frac{-1}{a_{n-1}} [a_{n-1} \ a_{n-3}] \\ c_3 = \frac{-1}{a_{n-1}} [a_{n-1} \ a_{n-5}] \\ \dots \\ d_1 = \frac{-1}{c_1} [a_{n-1} \ a_{n-3}] \\ d_2 = \frac{-1}{c_1} [a_{n-1} \ a_{n-5}] \\ d_3 = \frac{-1}{c_1} [a_{n-1} \ a_{n-7}] \end{matrix}$$

虚轴右侧闭环极点个数 = 正实部特征根的个数 = 第一列元素符号变化次数

①二阶系统：特征多项式的所有系数符号相同

②三阶系统：对于 $a_3s^3 + a_2s^2 + a_1s + a_0 = 0$

要求 a_0, a_1, a_2, a_3 同号，且 $a_2a_1 > a_0a_3$

特殊情况：

①首行出现零元素：

令 $s = 1/x$ ，或将原特征多项式乘 $(s+1)$ ，重新列劳斯阵列。

②出现全零行：

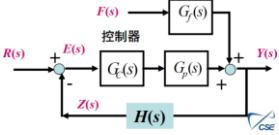
s^6	1	5	8	4		用全零行的上一行构造
s^5	1	3	2	0		
s^4	2	6	4	0	$\rightarrow 2s^4 + 6s^2 + 4 = 0$	方程，该方程的根也是原
s^3	0(8)	0(12)	0(0)		$\rightarrow 8s^3 + 12s = 0$	方程的根；对该方程求导，
s^2	3	4	0			
s^1	4/3	0				代替全零行
s^0	4					

③判断 $s = -\sigma$ 右边的根个数，令 $s = z - \sigma$

2. 稳态误差

计算误差前，一定要先判断系统稳定性!!!（直接写特征方程进行判断，即 $1+G_c(s)G_p(s)H(s)=0$ ）

$$E(s) = R(s) - H(s)Y(s)$$



①给定稳态误差的拉氏变换（由 $r(t)$ 产生）

$$E_r(s) = \frac{1}{1 + G_c(s)G_p(s)H(s)}R(s)$$

②扰动稳态误差的拉氏变换（由 $f(t)$ 产生）

$$E_f(s) = \frac{-G_f(s)H(s)}{1 + G_c(s)G_p(s)H(s)}F(s)$$

终值定理： $e_s = \lim_{t \rightarrow \infty} e(t) = \lim_{s \rightarrow 0} sE(s)$ （前提是稳定）

3. 单位负反馈系统的型别、稳态误差系数

开环传递函数

$$G(s) = \frac{K \prod_{i=1}^m (T_i s + 1) \prod_{j=1}^l (T_j^2 s^2 + 2\zeta_j T_j s + 1)}{s^a \prod_{i=1}^n (T_i s + 1) \prod_{j=1}^l (T_j^2 s^2 + 2\zeta_j T_j s + 1)} = \frac{K \beta(s)}{s^a \alpha(s)}$$

单位负反馈系统

K为传递函数的放大系数

当 $m \geq 0$ 时， $e_{ss} = \lim_{s \rightarrow 0} sE(s) = \lim_{s \rightarrow 0} \frac{s^{m+1}}{s^{m+K}} R(s) = \lim_{s \rightarrow 0} \frac{s^{m+1}}{K} Y(s)$

稳态误差系数仅适用于稳定的单位负反馈系统（首先判断稳定性!!!）

①稳态位置（阶跃）误差系数（输入为 $R_0 \leftrightarrow R_0/s$ ）

$$K_p = \frac{\lim_{t \rightarrow \infty} y(t)}{e_{ss}} = \lim_{s \rightarrow 0} G(s)$$

②稳态速度（斜坡）误差系数（输入为 $R_1 t \leftrightarrow R_1/s^2$ ）

$$K_v = \frac{\lim_{t \rightarrow \infty} \frac{dy(t)}{dt}}{e_{ss}} = \lim_{s \rightarrow 0} sG(s)$$

③稳态加速度（抛物线）误差系数（输入为 $R_2 t^2/2 \leftrightarrow R_2/s^3$ ）

$$K_a = \frac{\lim_{t \rightarrow \infty} \frac{d^2 y(t)}{dt^2}}{e_{ss}} = \lim_{s \rightarrow 0} s^2 G(s)$$

系统 型别	误差系数			稳态误差		
	K_p	K_v	K_a	阶跃输入 $R_0(t)$	斜坡输入 $R_1 t$	抛物线输入 $\frac{R_2 t^2}{2}$
0	K_v	0	0	$\frac{R_0}{1+K_p}$	∞	∞
1	∞	K_1	0	0	$\frac{R_1}{K_1}$	∞
2	∞	∞	K_2	0	0	$\frac{R_2}{K_2}$

第五章 根轨迹分析法

1. 传递函数

$$G(s) = K_{1g} \frac{\prod_{i=1}^l (\tau_{1i} s + 1)}{s^a \prod_{i=1}^m (T_i s + 1)} = K_{1r} \frac{\prod_{i=1}^l (s - z_{1i})}{s^a \prod_{i=1}^m (s - p_{1i})}$$

$$H(s) = K_{2g} \frac{\prod_{i=1}^l (\tau_{2i} s + 1)}{s^b \prod_{i=1}^n (T_{2i} s + 1)} = K_{2r} \frac{\prod_{i=1}^l (s - z_{2i})}{s^b \prod_{i=1}^n (s - p_{2i})}$$

K_{1g} 前向通道增益， K_{1r} 前向通道根轨迹增益

K_{2g} 反馈通道增益， K_{2r} 反馈通道根轨迹增益

$$G(s)H(s) = K_g \frac{\prod_{i=1}^l (\tau_i s + 1)}{s^a \prod_{i=1}^m (T_i s + 1)} = K_r \frac{\prod_{i=1}^l (s - z_i)}{s^a \prod_{i=1}^m (s - p_i)} = K_r \frac{\prod_{i=1}^l (s - z_{1i}) \prod_{j=1}^l (s - z_{2j})}{s^a \prod_{i=1}^m (s - p_{1i}) \prod_{j=1}^n (s - p_{2j})}$$

$K_g = K_{1g}K_{2g}$ 一系统开环增益， $K_r = K_{1r}K_{2r}$ 一开环根轨迹增益

$$\Phi(s) = \frac{G(s)}{1 + G(s)H(s)} = \frac{K_r \prod_{i=1}^l (s - z_{1i}) \prod_{j=1}^k (s - z_{2j})}{\prod_{i=1}^n (s - p_i) + K_r \prod_{i=1}^l (s - z_i)}$$

闭环系统根轨迹增益 = 开环系统前向通道根轨迹增益
闭环零点 = $G(s)$ 零点 + $H(s)$ 极点

2. 在根轨迹上的条件

$$1 + G(s)H(s) = 1 + \frac{K(s - z_1) \cdots (s - z_w)}{(s - p_1) \cdots (s - p_n)} = 0$$

$$|G(s)H(s)| = \frac{|K| |s - z_1| \cdots |s - z_w|}{|s - p_1| \cdots |s - p_n|} = 1$$

幅值条件：

相角条件：

$$\sum_{j=1}^m \angle(s - z_j) - \sum_{i=1}^n \angle(s - p_i) = \begin{cases} (2k+1)\pi, & K > 0 \\ 2k\pi, & K < 0 \end{cases}$$

2. 根轨迹绘制方法

①根轨迹起于($K=0$)开环极点，终于($K \rightarrow \infty$)开环零点

②分支数等于开环零极、点数之和

③实轴上的根轨迹：右边零、极点个数之和为奇数的区域

④渐近线：开环有限极点数为 n ，零点数为 m ，当 $n > m$ ，

$$\varphi_a = \frac{(2k+1)\pi}{n-m}, k=0, \dots, n-m-1, \quad \sigma_a = \frac{\text{极点和} - \text{零点和}}{n-m}$$

⑤分离点、分离角：设 l 条根轨迹相交、分离

$$\sum_{i=1}^n \frac{1}{d - p_i} = \sum_{j=1}^m \frac{1}{d - z_j}, \quad \text{分离角} = \frac{(2k+1)\pi}{l}, k=0, \dots, l-1$$

⑥出射角、入射角：由相角条件推导即可

⑦与虚轴交点：令 $1 + G(j\omega)H(j\omega) = 0$

⑧根之和：若 $n - m \geq 2$ ，则 根之和=极点之和

⑨特殊情况：由2极点 $p_1 p_2$ 和1实零点 z_1 组成的二阶系统，若 z_1 没有位于 $p_1 p_2$ 之间，当 $K=0 \rightarrow \infty$ ，根轨迹为以 z_1 为圆心、以 z_1 到分离点的距离为半径的圆（当 $p_1 p_2$ 为实极点时）或圆的一部分（当 $p_1 p_2$ 为一对共轭复数极点时）

3. 广义根轨迹

①参数根轨迹：写出特征方程 $1 + G(s)H(s) = 0$ ，然后得到等

效开环传递函数 $GH_e(s)$ （使关注的参数成为根轨迹增益）

②零度（正反馈）根轨迹：法则修改

实轴上的根轨迹：偶数；出射角、入射角由新相角条件推导

渐近线角度： $\varphi_a = \frac{2k\pi}{n-m}, k=0, \dots, n-m-1$,

③含纯滞后环节：Pade近似

$$G(s)H(s) = \frac{K e^{-\tau s}}{s(s - p_1)} \approx \frac{-K(s - \frac{\tau}{2})}{s(s - p_1)(s + \frac{\tau}{2})}$$

4. 附加极点

$$\frac{C(s)}{R(s)} = \frac{K}{(s^2 + 2\zeta\omega_n s + \omega_n^2)(s - p_3)}$$

由实数极点 p_3 作用的瞬态项为 $A_3 e^{p_3 t}$ ，其中 $A_3 < 0$ ，因此超调 M_p 减少

幅值 A_3 取决于 p_3 相对于复数极点的位置。 p_3 越靠左侧，幅值 A_3 越小，对系统响应的影响越小。

若 p_3 在复数极点 p_1 和 p_2 左侧5倍以远的位置，对系统响应的影响可以忽略不计

5. 补偿器设计（串联补偿）

控制器	瞬态响应	稳态（对阶跃响应的误差）
比例（P）	加大反馈	通常非零
微分（D）	增大阻尼和稳定性	通常非零
积分（I）	降低稳定性	零稳态误差
PI	P，结合	结合P，I
PD	P，D结合	结合P，D
PID	P，I，D结合	结合P，I，D
Lead	降低上升时间，加大阻尼	通常非零
Lag	降低稳定性	减小误差

比例： $K(s) = K$ 微分： $K(s) = Ks$ 积分： $K(s) = K/s$

超前补偿： $K(s) = K \frac{s+2}{s+20}$ ， 滞后补偿： $K(s) = K \frac{s+10}{s+1}$

第六章 频率特性分析法

1. 频率特性



$$G(j\omega) = G(s)|_{s=j\omega} = |G(j\omega)|e^{j\phi(\omega)}$$

对于输入正弦信号 $x(t) = X \sin(\omega t + \varphi)$ ，

输出的稳态分量为 $y(t) = X |G(j\omega)| \sin[\omega t + \varphi + \phi(\omega)]$

2. Bode 图（对数频率特性曲线）

①比例 K ， $20 \lg K$ ②积分 $\frac{1}{j\omega}$ ，过点(1,0)，斜率 -20 dB/dec

③一阶惯性 $\frac{1}{1+j\omega T}$ ，转折频率 $\frac{1}{T}$ ，斜率 -20 dB/dec

④一阶微分 $(1+j\omega T)$ ，转折频率 $\frac{1}{T}$ ，斜率 20 dB/dec

⑤振荡 $\left[1 + \frac{2\zeta}{\omega_n} j\omega + \frac{(j\omega)^2}{\omega_n^2}\right]^{-1}$ ，转折频率 ω_n ，斜率 -40 dB/dec

⑥二阶微分 $1 + \frac{2\zeta}{\omega_n} j\omega + \frac{(j\omega)^2}{\omega_n^2}$ ，转折频率 ω_n ，斜率 40 dB/dec

谐振： $0 < \zeta < 0.707$ ，振荡环节在 $\omega_r = \omega_n \sqrt{1 - 2\zeta^2}$ 出现峰值

$$20 \lg M_r = 20 \lg \frac{1}{2\zeta \sqrt{1 - \zeta^2}}$$

最小相位系统：零极点均在左半平面，增益为正，不含纯滞后环节，幅频和相频曲线的变化趋势一致。

3. 极坐标图（开环幅相曲线）

①起点：设系统的型别为 m ，系统开环增益为 K 。 $m < 0$ ，原点； $m = 0$ ，实轴上点 K 处； $m > 0$ ，若 $K > 0$ ，起点为 $-90^\circ \times m$ ，若 $K < 0$ ，起点为 $-90^\circ \times m - 180^\circ$ 。

②终点：根据分子分母的阶次计算

③与实轴、虚轴的交点

4. 奈奎斯特稳定性判据

设 $B(s) = 1 + G(s)H(s)$ ，则 $B(s)$ 的零点为闭环传递函数 $\phi(s)$ 的极点，则系统稳定的条件为 $B(s)$ 的零点只在 S 的左半平面。

①从 $G(s)H(s)$ 到 $B(s)$

在 $G(s)H(s)$ 极坐标图中，关注围绕点 $(-1, j0)$ 而非原点的情况
曲线方向： $\omega = 0^+ \rightarrow +\infty \rightarrow -\infty \rightarrow 0^- \rightarrow 0^+$

设曲线逆时针包围 $(-1 + j0)$ 的圈数为 N ，右半平面的零点个数为 Z_R 、极点个数为 P_R ，则 $N = P_R - Z_R$ ，即 $Z_R = P_R - N$ 。

②若 $G(s)H(s)$ 穿越 $(-1 + j0)$ 点，等于 $B(s)$ 在虚轴上有零点，会出现持续振荡，系统临界稳定。

③设 $G(s)H(s)$ 的分母含有 s^m 项（ m 型系统），则当 $\omega = 0^- \rightarrow 0^+$ 时，曲线以无穷大半径顺时针旋转 $m \times 180^\circ$

④ m 的计算：

起始点（ $\omega = 0^+$ ）的相位 = $-m \times 90^\circ - P_R \times (-180^\circ)$

5. 稳定裕度

①相位裕度

截止频率 ω_c ： $|G(j\omega_c)H(j\omega_c)| = 1$

相位裕度： $\gamma = 180^\circ + \angle G(j\omega_c)H(j\omega_c)$

$\gamma > 0$ 为稳定系统，再滞后相位 γ ，系统将处于临界稳定状态。

②幅值裕度

穿越频率 ω_x ： $\angle G(j\omega_x)H(j\omega_x) = -\pi$

幅值裕度： $|G(j\omega_x)H(j\omega_x)| * h = 1$

或 $h' = -20 \lg |G(j\omega_x)H(j\omega_x)|$ (dB)

$h' > 0$ 稳定，幅频再增大 h 倍，则临界稳定。

6. 频域指标和时域指标的关系

典型单位负反馈二阶系统的开环传递函数如下：

$$G(s) = \frac{K}{s(Ts + 1)}; \quad G(j\omega) = \frac{\omega_n^2}{j\omega(j\omega + 2\zeta\omega_n)}$$

$$\left(\frac{\omega_c}{\omega_n}\right) = \left(\sqrt{4\zeta^4 + 1} - 2\zeta^2\right)^{\frac{1}{2}}$$

阻尼比 ζ 一定时，截止频率 ω_c 越大，自然频率 ω_n 越大，上升时间、峰值时间、调节时间越小，响应速度加快

谐振峰值 $M_r = \frac{1}{2\zeta \sqrt{1 - \zeta^2}}, \quad \zeta \leq 0.707$

谐振频率 $\omega_r = \omega_n \sqrt{1 - 2\zeta^2}, \quad \zeta \leq 0.707$

带宽频率 $\omega_b = \omega_n \sqrt{1 - 2\zeta^2 + \sqrt{2 - 4\zeta^2 + 4\zeta^4}}$

截止频率 $\omega_c = \omega_n \sqrt{1 + 4\zeta^4 - 2\zeta^2}$

相位裕度 $\gamma = \arctg\left(\frac{2\zeta}{\sqrt{1 + 4\zeta^4 - 2\zeta^2}}\right)$

调节时间 $T_s = \frac{3.5}{\zeta\omega_n}, \quad \omega_n T_s = \frac{7}{\text{tgy}}$

7. 补偿器（左串联超前校正，右串联滞后校正）

(1) 提高了控制系统的相对稳定性——使系统的稳定裕量增加，超调量下降

工业上常取 $\alpha=10$ ，此时校正装置可提供约 55° 的超前相位
(2) 加快了控制系统的反应速度——过渡过程时间减小。由于串联超前校正的存在，使校正后系统的 ω_c 、 ω_r 及 ω_b 均变大了。带宽的增加，会使系统响应速度变快

(3) 控制系统的稳态性能不变——开环低频幅值和相位不变

(4) 系统的抗干扰能力下降了——高频段开环幅频曲线抬高了

① 改善了系统的稳定性

相位裕度由负变正，系统由不稳定变稳定

② 稳态性能不变

开环低频幅值和相位不变

③ 响应速度变慢

滞后校正装置使系统的频带变窄，导致动态响应时间增大。

④ 高频抗干扰能力提高

高频段开环幅频曲线压低了